

# 紫外光照下锐钛型 Fe - TiO<sub>2</sub> 粉末 对甲基蓝的催化降解

张一兵, 龙彩凤, 李 璟

(上饶师范学院化学化工学院, 江西 上饶 334001)

**摘 要:** 采用水热法自制的锐钛型 Fe - TiO<sub>2</sub> 粉末在紫外光( $\lambda = 254 \text{ nm}$ )照射下, 对有机污染物甲基蓝进行光催化降解, 研究了甲基蓝溶液的初始浓度、溶液的 pH、TiO<sub>2</sub> 掺杂量、TiO<sub>2</sub> 用量、反应时间等因素对甲基蓝降解率的影响。结果表明: 在甲基蓝溶液初始浓度为 50 mg/L (pH = 6)、TiO<sub>2</sub> 掺铁量 3% (摩尔分数)、TiO<sub>2</sub> 粉末用量为 1.00 g/L、室温 18℃ 下经紫外光照射反应 105 min, 甲基蓝的降解率达到 97.3%。

**关键词:** 锐钛型 Fe - TiO<sub>2</sub>; 甲基蓝; 紫外光; 催化降解

中图分类号: X131.2

文献标识码: A

文章编号: 1008 - 858X(2015)01 - 0062 - 05

## 引 言

当今社会人类所面临的水污染问题日益严重, 污水中有毒有害有机污染物难以去除, 已成为了人类面临的共同难题, 其中甲基蓝就是有毒有害有机污染物之一, 它对人们的日常生活和身体健康造成严重危害<sup>[1]</sup>。目前使用吸附法、沉淀法等传统的方法不能根除污染物<sup>[2]</sup>。光催化氧化降解有机污染物是目前研究较多的新技术<sup>[1-12]</sup>, 金属氧化物半导体是常见光催化剂。TiO<sub>2</sub> 半导体因其催化活性高、化学性能稳定、无毒、价廉, 被广泛地作为首选光催化剂。在紫外线照射下, TiO<sub>2</sub> 能在表面上产生羟基自由基·OH 等强氧化剂, 几乎能降解消除所有的有机物污染物, 最终生成对环境无害的 CO<sub>2</sub> 和 H<sub>2</sub>O。TiO<sub>2</sub> 有 3 种不同的晶形(锐钛型、金红石型、板钛型), 不同晶形各具特性, 其中锐钛型拥有最好的光催化活性, 被广泛用于液相有机污染物的降解处理<sup>[2-12]</sup>。但是 TiO<sub>2</sub> 的禁带宽度较大( $E_g = 3.2 \text{ eV}$ ), 光响应范围窄, 光生电子 e<sup>-</sup> 与空穴 h<sup>+</sup> 易复合, 催化效率低, 因此需对 TiO<sub>2</sub> 进行改性以提高其光催化能力。过渡金属离

子掺杂能改善上述缺陷, 且以 Fe<sup>3+</sup> 的效果最好<sup>[9-10]</sup>。由于 Fe<sup>3+</sup> 半径(0.064 nm) 近于 Ti<sup>4+</sup> 半径(0.0645 nm), 故它容易进入 TiO<sub>2</sub> 晶格中替代 Ti<sup>4+</sup>, 增加 TiO<sub>2</sub> 晶格内部和表面氧空位 h<sup>+</sup>, 有利于提高 TiO<sub>2</sub> 的光催化性能。另外, 由于 Fe<sup>3+</sup>/Fe<sup>4+</sup> 能级近于 TiO<sub>2</sub> 价带, Fe<sup>3+</sup>/Fe<sup>2+</sup> 能级近于 TiO<sub>2</sub> 导带, 故 Fe<sup>3+</sup> 既能作空穴 h<sup>+</sup> 的捕获中心, 也能作为电子 e<sup>-</sup> 的捕获中心, 结果抑制空穴 h<sup>+</sup>—电子对 e<sup>-</sup> 的复合, 提高 TiO<sub>2</sub> 的光催化性能<sup>[9]</sup>。基于 Fe<sup>3+</sup> 的掺杂效果最为显著且成本也较低, 作者近年来一直致力于从事水热法自制掺 Fe<sup>3+</sup> 的锐钛型 TiO<sub>2</sub> (该法能使 Fe<sup>3+</sup> 均匀而深入地掺入) 光催化降解有机污染物的研究, 包括光催化剂制备与性能、光催化条件优化及光催化过程的动力学行为等方面的研究<sup>[4,8]</sup>。本工作以自制的锐钛型 Fe - TiO<sub>2</sub> 半导体作光催化剂, 研究它在紫外光照射下催化降解甲基蓝的最佳条件。

## 1 实验部分

### 1.1 主要药品和仪器

甲基蓝 (AR, 天津布巴斯夫化工有限公司)

收稿日期: 2014 - 07 - 21; 修回日期: 2014 - 09 - 22

基金项目: 教育部第四批高等学校特色专业建设点资助项目 (TS11524)

作者简介: 张一兵 (1963 -), 男, 硕士, 教授, 主要从事无机化学与无机材料研究。Email: srxh@sina.com。

司),硫酸钛和氯化铁(AR, SCRC 国药集团化学试剂有限公司)。UV-1201 单光束紫外可见分光光度计(北京瑞利分析仪器公司),内衬聚四氟乙烯内杯的高压反应釜(240℃, RD-100 型,中国石化科研院)。

### 1.2 Fe-TiO<sub>2</sub>的制备

按有关文献<sup>[8]</sup>方法,通过水热法制备锐钛型 Fe-TiO<sub>2</sub>光催化剂粉体。

### 1.3 测定甲基蓝的降解率方法

配制适合浓度的甲基蓝溶液。先测溶液的原始光度  $A_0$  和 pH, 移取一定体积的该溶液到一干燥洁净的烧杯中, 加适量自制的不同掺铁量的 Fe-TiO<sub>2</sub> 光催化剂粉体, 密封杯口后置于暗箱中, 室温 18℃ 下快速搅拌的同时, 用紫外光 ( $\lambda = 254 \text{ nm}$ ) 照射一定时间, 测定溶液中余下的甲基蓝的吸光度  $A_t$ 。由于甲基蓝的吸光度正比于其浓度, 故其降解率  $D\%$  为,

$$D\% = [(A_0 - A_t) / A_0] \times 100 = [(C_0 - C_t) / C_0] \times 100.$$

## 2 结果与讨论

### 2.1 甲基蓝溶液的最大吸收波长 $\lambda$ 测定

配制 50 mg/L 的甲基蓝溶液, 于不同波长  $\lambda$  下测溶液的吸光度  $A_0$  (以蒸馏水为参比液), 结果如图 1 所示。

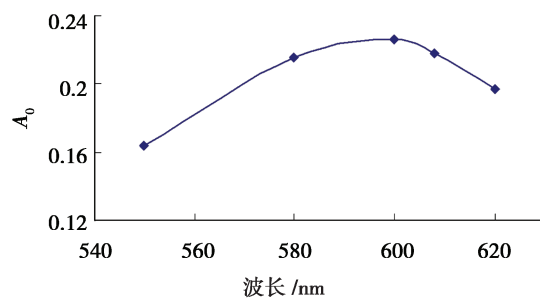


图 1 甲基蓝溶液的最大吸收波长的测定

Fig. 1 Maximum absorption wavelengths of methyl blue

图 1 显示, 甲基蓝溶液的最大吸光度为

0.226, 对应的最大吸收波长为 600 nm, 本工作所有的吸光度测试实验均在此最大波长下测定。

### 2.2 溶液初始 pH 的优化

取 50 mg/L 甲基蓝原始溶液 (pH = 6, 下同) 5 份, 分别用 H<sub>2</sub>SO<sub>4</sub> 或 NaOH 调节溶液的 pH 值, 使其数值分别等于 4、5、6、8 和 9。先测定各溶液的原初吸光度  $A_0$  后, 各加自制的掺铁 3% (摩尔分数, 下同) 的 Fe-TiO<sub>2</sub> 粉末使其用量 1.0 g/L, 室温下经紫外光 ( $\lambda = 254 \text{ nm}$ ) 光催化降解反应 105 min 后, 测剩余甲基蓝溶液的吸光度  $A_t$ , 结果见图 2。

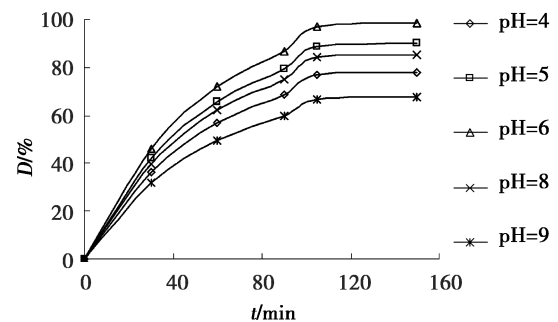


图 2 甲基蓝降解率随溶液初始 pH 的变化

Fig. 2 Change of degradation rate of methyl blue with solution initial pH

由图 2 可知, 随着溶液的初始 pH 值的增加, 甲基蓝降解率增加, 到 pH 增加到 6 时, 降解率达到最大值 97.3%; 随后 pH 值再增加, 降解率反而降低。上述变化可解释为, 溶液 pH 值变化会改变 TiO<sub>2</sub> 表面的带电状态、能级位置和甲基蓝的存在形式 (结构式发生变化), 而 TiO<sub>2</sub> 表面的带电状态直接影响 TiO<sub>2</sub> 颗粒的分散程度、甲基蓝在催化剂表面上的吸附程度以及光生电子 e<sup>-</sup> 向 TiO<sub>2</sub> 表面的迁移状况。由于 TiO<sub>2</sub> 纳米粒子的比表面积很大, 导致它有很多活泼的不饱和悬键, 它们吸引或排斥电子使得纳米粒子带上不同性质的电荷。当溶液的 pH 低于 TiO<sub>2</sub> 等电点 (约等于 6) 时, TiO<sub>2</sub> 表面带正电, 这利于光生电子 e<sup>-</sup> 向其表面迁移并结合吸附在表面上的氧气而生成羟基自由基 ·OH, 提高 TiO<sub>2</sub> 光催化效率; 当反应溶液 pH 高于 6 时,

TiO<sub>2</sub>表面带负电,利于空穴 h<sup>+</sup>向表面迁移并结合 H<sub>2</sub>O 生成·OH。但是,过高或过低的 pH 均会抑制羟基自由基·OH 的生成。此外,在酸性条件下,甲基蓝的酮式结构比其在中性、碱性条件下的偶氮结构更容易被光催化降解<sup>[5]</sup>。因此本实验甲基蓝溶液的最佳 pH = 6。

### 2.3 掺铁量的优化

分别移取 50 mL、50 mg/L 的甲基蓝溶液于 5 个烧杯中,测其最初吸光度 A<sub>0</sub>后,各加入自制的掺铁 0%、1%、3%、4%、5% 的 Fe - TiO<sub>2</sub> 粉末使其用量等于 1.0 g/L,室温下经紫外光(λ = 254 nm)光催化降解反应 105 min 后,测剩余甲基蓝溶液的吸光度 A<sub>t</sub>,结果见图 3。

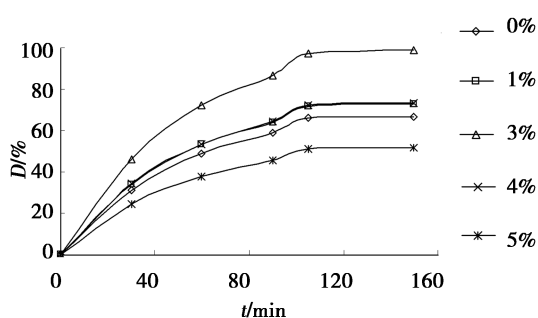


图 3 甲基蓝降解率随 Fe - TiO<sub>2</sub> 中掺铁量的变化  
Fig. 3 Change of degradation rate of methyl blue with amount of Fe - doping in Fe-TiO<sub>2</sub>

从图 3 可以看出,随着 Fe - TiO<sub>2</sub> 中的掺铁量增加甲基蓝的降解率随之增加,当掺铁量增加到 3% 时降解率为最高值 97.3%;继续增加掺铁量甲基蓝的降解率表现下降。究其原因,当催化剂中的掺铁量较小时,电子构型为 3d<sup>5</sup> 的 Fe<sup>3+</sup> 形成的浅势捕获能捕获光生电子 e<sup>-</sup>,抑制了光生电子 e<sup>-</sup> 和空穴 h<sup>+</sup> 复合几率,使得更多的空穴 h<sup>+</sup> 到达 Fe - TiO<sub>2</sub> 晶体表面。当 Fe<sup>3+</sup> 捕获光生电子 e<sup>-</sup> 还原为 Fe<sup>2+</sup>,其电子构型由 d<sup>5</sup> 变为 d<sup>6</sup>,即由相应的稳定态变成亚稳定态,有重返 Fe<sup>3+</sup> 的趋势,即易释放所捕获的 e<sup>-</sup>。另外,如前所述,Fe<sup>2+</sup>/Fe<sup>3+</sup> 能级低于且近于 Ti<sup>3+</sup>/Ti<sup>4+</sup> 能级,这造成它所捕获 e<sup>-</sup> 易转致临近的 Ti<sup>4+</sup> 表面而与催化剂表面所吸附的 O<sub>2</sub> 结合形成 O<sub>2</sub><sup>-</sup>,继而最终生成·OH。强氧化剂·OH 数

量增加的结果导致 TiO<sub>2</sub> 光催化活性的提高。当掺铁量低于最佳值时,TiO<sub>2</sub> 的催化活性随掺铁量的增加而增大;当掺铁量大于最佳值时,一是大量的 3 价铁离子无法有效地掺入 TiO<sub>2</sub> 晶格中,造成在 TiO<sub>2</sub> 晶体表面上的堆积,二是多余的 Fe<sup>3+</sup> 本身充当了电子 e<sup>-</sup> 和空穴 h<sup>+</sup> 的复合中心,使得光生电子 e<sup>-</sup> 与空穴 h<sup>+</sup> 的量子效率下降,结果双重负面影响致使 Fe - TiO<sub>2</sub> 粉末的光催化活性降低<sup>[10]</sup>。因此,本实验 Fe - TiO<sub>2</sub> 晶体的最佳掺铁量确定为 3%。

### 2.4 催化剂用量的优化

分别移取 50 mL、50 mg/L 甲基蓝溶液于 5 个烧杯中,测其最初吸光度 A<sub>0</sub>后,加入不同量自制的掺铁 3% Fe - TiO<sub>2</sub> 粉末,使其用量各为 0.4g/L、0.8 g/L、1.0 g/L、1.2 g/L 和 1.6 g/L,室温下经紫外光(λ = 254 nm)光催化降解反应 105 min 后,测剩余甲基蓝溶液的吸光度 A<sub>t</sub>,结果见图 4。

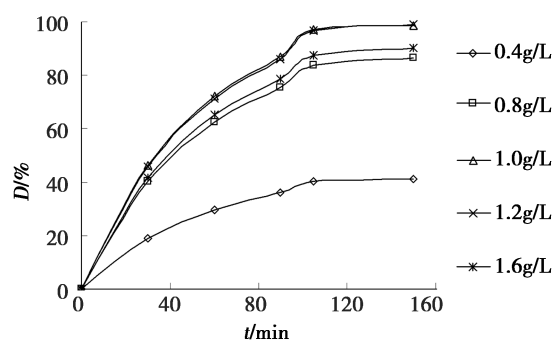


图 4 甲基蓝降解率随 Fe - TiO<sub>2</sub> 用量的变化  
Fig. 4 Change of degradation rate of methyl blue with Fe - TiO<sub>2</sub> dosage

分析图 4 可知,随着催化剂用量的增加甲基蓝降解率逐渐增加,当 Fe - TiO<sub>2</sub> 粉末用量达到 1.0 g/L 时,甲基蓝的降解率最大达到 97.3%,随后缓慢降低。原因可能是,当 Fe - TiO<sub>2</sub> 粉末用量适当时,增加了甲基蓝与催化剂颗粒的接触面,反应后所产生活性基团·OH 的数目较多,导致甲基蓝的降解率上升;当加入 Fe - TiO<sub>2</sub> 粉末过量时,会造成较强的光散射(丁达尔现象),使得催化剂的吸收光的效率下降,光生电子 e<sup>-</sup> 的捕获率减小,导致活性自由基生

成的量减少,降解率下降<sup>[11]</sup>。由此可见,不同光催化反应体系均存在最佳用量<sup>[11]</sup>。本实验 Fe-TiO<sub>2</sub>粉末的最佳用量确定为 1.0 g/L。

## 2.5 甲基蓝初始浓度的优化

分别移取初始浓度 10 mg/L、30 mg/L、45 mg/L、50 mg/L 和 60 mg/L 甲基蓝溶液,测其最初吸光度  $A_0$  后,各加入自制的掺铁 3% 的 Fe-TiO<sub>2</sub> 粉末使其用量 1.0 g/L,室温下经紫外光( $\lambda = 254 \text{ nm}$ )光催化降解反应 105 min 后,测剩余甲基蓝溶液的吸光度  $A_1$ ,结果见图 5。

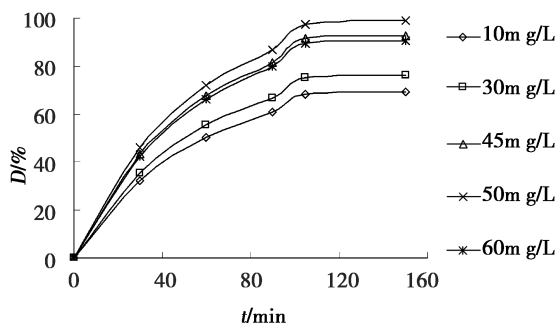


图 5 甲基蓝降解率随其初始浓度的变化

Fig. 5 Change of degradation rate of methyl blue with its initial concentration

图 5 表明,随着甲基蓝初始浓度由 10 mg/L 的逐步增加,其降解率随之平缓增加,当浓度增加到 50 mg/L,降解率呈现最大值等于 97.3%;如果再增加初始浓度,其甲基蓝降解率出现缓慢下降。产生上述变化的原因解释为,当甲基蓝初始浓度位于较低值时,随着初始浓度的增大,催化剂对降解物的吸附量也随之增大,发生催化降解的底物量也增多,即降解率增大;当甲基蓝的初始浓度达到一定值时(50 mg/L)其吸附趋向饱和,此时若继续增加初始浓度,超量的甲基蓝被吸附在催化剂颗粒的表面,致使 Fe-TiO<sub>2</sub> 粉末的催化活性部位数量减小,结果反而导致甲基蓝降解率下降<sup>[12]</sup>。本工作所确定甲基蓝的最佳初始浓度为 50 mg/L。

## 3 结 论

采用水热法制备的锐钛型 Fe-TiO<sub>2</sub> 粉末

光催化剂,在紫外光照射下对甲基蓝进行催化降解。研究了光催化降解反应的最佳条件:在初始浓度为 50 mg/L 的甲基蓝原始溶液中( $\text{pH} = 6$ ),加入掺铁量 3% (摩尔分数)的自制掺铁 Fe-TiO<sub>2</sub> 粉末使其用量为 1.0 g/L 时,室温 18℃ 下紫外光照( $\lambda = 254 \text{ nm}$ )反应 105 min,甲基蓝的降解率达到 97.3%。

## 参考文献:

- [1] 张伟. 纳米 CeO<sub>2</sub> 的制备及光催化降解甲基蓝目[D]. 成都:成都理工大学材料学专业, 2008.
- [2] 关鲁雄, 秦旭阳, 丁萍, 等. 光催化降解甲基蓝溶液[J]. 中南大学学报, 2004, 35(6): 970-973.
- [3] 崔云涛, 王金淑, 李洪义. 原位合成 TiO<sub>2</sub> 纳米管阵列及其光催化性能研究[J]. 无机材料学报, 2008, 23(6): 1259-1262.
- [4] 张一兵, 杨燕平. Fe-TiO<sub>2</sub> 的制备及在可见光下催化降解对硝基苯胺[J]. 盐湖研究, 2013, 21(4): 37-41.
- [5] 张秀芳, 董晓丽, 马春, 等. 氮掺杂的二氧化钛可见光催化降解亚甲基蓝[J]. 大连工业大学学报, 2010, 29(1): 36-38.
- [6] Gupta V K, Jain R, Mittal A, et al. Photo-catalytic degradation of toxic dye amaranth on TiO<sub>2</sub>/UV in aqueous suspensions[J]. Mat. Sci. Eng. C, 2012, 32(1): 12-17.
- [7] 易均辉, 莫惠媚, 易灵红, 等. 金属离子掺杂改性 TiO<sub>2</sub> 的研究进展与应用[J]. 化工技术与开发, 2011, 40(8): 35-38.
- [8] 张一兵, 周天祥, 江雷. 掺 Fe<sup>3+</sup> 的 A-TiO<sub>2</sub> 的水热法制备及光催化性能研究[J]. 材料导报, 2010, 24(12): 56-58.
- [9] Zhu J F, Zheng W, He B, et al. Characterization of Fe-TiO<sub>2</sub> photocatalysts synthesized by hydrothermal method and their photocatalytic reactivity for photodegradation of XRG dye diluted in water[J]. Journal of Molecular Catalysis A: Chemical, 2004, 216(1): 35-43.
- [10] Choi W, Termin A, Hoffmann M R. The role of metal ion dopant quantum-sized TiO<sub>2</sub>: correlation between photoreactivity and charge-carried recombination dynamics[J]. Phys Chem, 1994, 98(5): 13669-13679.
- [11] 姜萍华, 高莉莉, 陈东辉, 等. 沸石负载 N、Fe<sup>3+</sup> 共掺杂 TiO<sub>2</sub> 催化剂制备及表征[J]. 环境污染与防治, 2008, 30(12): 55-59.
- [12] 吴忠杰, 张国庆, 傅李鹏, 等. 镍网负载纳米 TiO<sub>2</sub> 光催化反应器对酸性品红脱色效果实验研究[J]. 环境工程学报, 2010, 4(2): 342-346.

## Catalytic Degeneration of Methyl Blue with Anatase Fe-TiO<sub>2</sub> Powders under UV Light ( $\lambda = 254 \text{ nm}$ )

ZHANG Yi-bing, LONG Cai-feng, LI Jing

(School of chemistry and chemical engineering, Shangrao Normal University, Shangrao Jiangxi 334001, China)

**Abstract:** Anatase Fe-doping TiO<sub>2</sub> powders prepared via hydrothermal method was used for photo-catalytic degradation of methyl blue. The influences of initial methyl blue concentration, solution pH, amount of Fe-doping, dosage of TiO<sub>2</sub> and irradiation time were investigated. The results indicate that under the conditions of initial methyl blue concentration of 50 mg/L (pH = 6), amount of Fe-doping 3% (mole fraction), TiO<sub>2</sub> powders dosage of 1.00 g/L, room temperature of 18°C, the degradation rate of methyl blue can achieve 97.3% when the irradiation time under UV ( $\lambda = 254 \text{ nm}$ ) is 105 min.

**Key words:** Anatase Fe - TiO<sub>2</sub>; Methyl blue; UV light; Catalytic degradation

(上接第 50 页)

[10] Casteel J F, Amis E S. Specific conductance of concentrated solutions of magnesium salts in water - ethanol system[J]. J. Chem. Eng. Data, 1972, 17(1): 55 - 59.

[11] Wahab A, Mahiuddin S. Density, ultrasonic velocity, electrical conductivity, viscosity, and raman spectra of methanolic Mg(ClO<sub>4</sub>)<sub>2</sub>, Mg(NO<sub>3</sub>)<sub>2</sub>, and Mg(OAc)<sub>2</sub> solutions[J]. J. Chem. Eng. Data, 2009, 54(2): 436 - 443.

[12] Spessard J E. Investigations of borate equilibria in neutral

salt solutions[J]. J. Inorg. Nucl. Chem., 1970, 32: 2607 - 2613.

[13] Weres O. Vapor pressure, speciation, and chemical activities in highly concentrated sodium borate solutions at 277 and 317°C[J]. J. Solution Chem., 1995, 24(5): 409 - 438.

[14] Zhou Y Q, Fang C H, Fang Y, *et al*. Polyborates in aqueous borate solution: A Raman and DFT theory investigation[J]. J. Spectrochim. Acta. A., 2011, 83(1): 82 - 87.

## Physical Properties of Aqueous LiB<sub>5</sub>O<sub>8</sub> Solution: Density, Viscosity, Conductivity and pH

GE Hai-wen<sup>1</sup>, FANG Chun-hui<sup>1</sup>, FANG Yan<sup>1</sup>, ZHOU Yong-quan<sup>1</sup>, LIU Hong-yan<sup>1,2</sup>

(1. Qinghai Institute of Salt Lakes, Chinese Academy of Sciences, Xining 810008, China;

2. University of Chinese Academy of Sciences, Beijing, 100049, China)

**Abstract:** The crystal of LiB<sub>5</sub>O<sub>8</sub> · 5H<sub>2</sub>O was synthesized according to the phase diagram of Li<sub>2</sub>O - B<sub>2</sub>O<sub>3</sub> - H<sub>2</sub>O. Density, conductivity, viscosity, and pH of LiB<sub>5</sub>O<sub>8</sub> solutions were measured as functions of concentration from dilute to saturated at 40, 50°C, and were analyzed according to the corresponding models. The mole fractions of the B(OH)<sub>3</sub>, B(OH)<sub>4</sub><sup>-</sup>, B<sub>3</sub>O<sub>3</sub>(OH)<sub>4</sub><sup>-</sup>, B<sub>4</sub>O<sub>5</sub>(OH)<sub>4</sub><sup>2-</sup> and B<sub>5</sub>O<sub>6</sub>(OH)<sub>4</sub><sup>-</sup> were calculated according to the literature equilibrium constants of borates and pH, and relevant chemical reaction and mechanism were also suggested.

**Key words:** LiB<sub>5</sub>O<sub>8</sub> · 5H<sub>2</sub>O; Physical Properties; Species distributions